

重水素化, Pentafluorobenzyl化와 GLC-Mass Spectrometry에 의한 Conjugate Trienoic Acid含有 Triacylglycerol 分子種의 立體特異的 分析

禹 孝 京 · 金 成 真 · 趙 鐘 桂

東亞大學校 食品營養學科
(2001년 6월 20일 접수 ; 2001년 7월 4일 채택)

Stereospecific Analysis of the Molecular Species of the Triacylglycerols
Containing Conjugate Trienoic Acids by GLC-Mass Spectrometry in
Combination with Deuteration and Pentafluorobenzyl Derivatization Techniques

Hyo-Kyeng Woo · Seong-Jin Kim · Yong-Goe Joh

Department of Food Science & Nutrition, Dong-A University, Pusan 604-714, Korea
(Received June 20, 2001 ; Accepted July 4, 2001)

Abstract : CTA ester bonds in TG molecules were not attacked by pancreatic lipase and lipases produced by microbes such as *Candida cylindracea*, *Chromobacterium viscosum*, *Geotrichum candidum*, *Pseudomonas fluorescens*, *Rhizopus delemar*, *R. arrhizus* and *Mucor miehei*. An aliquot of total TG of all the seed oils and each TG fraction of the oils collected from HPLC runs were deuterated prior to partial hydrolysis with Grignard reagent, because CTA molecule was destroyed with treatment of Grignard reagent. Deuterated TG (dTG) was hydrolyzed partially to a mixture of deuterated diacylglycerols (dDG), which were subsequently reacted with (S)-(+)-1-(1-naphthyl)ethyl isocyanate to derivatize into dDG-NEUs. Purified dDG-NEUs were resolved into 1, 3-, 1, 2- and 2, 3-dDG-NEU on silica columns in tandem of HPLC using a solvent of 0.4% propan-1-ol (containing 2 % water)-hexane. An aliquot of each dDG-NEU fraction was hydrolyzed and free fatty acids thus obtained were converted into pentafluorobenzyl fatty acid esters (fatty acid-PFB ester). These derivatives showed a diagnostic carboxylate ion, $(M-1)^-$, as parent peak and a minor peak at m/z 196 ($\text{PFB}-\text{CH}_3^-$) on NICI mass spectra. In the mass spectra of the fatty acid-PFB esters of dTGs derived from the seed oils of *T. kilirowii* and *M. charantia*, peaks at m/z 285, 287, 289 and 317 were observed, which corresponded to $(M-1)^-$ of deuterized oleic acid ($d_2-\text{C}_{18:0}$), linoleic acid ($d_4-\text{C}_{18:0}$), punicic acid ($d_6-\text{C}_{18:0}$) and eicosamonoenoic acid ($d_2-\text{C}_{20:0}$), respectively. Fatty acid compositions of deuterized total TG of each oil measured by relative intensities of $(M-1)^-$ ion peaks were

similar with those of intact TG of the oils by GLC. The composition of fatty acid-PFB esters of total dTG derived from the seed oils of *T. kilirowii* are as follows; C_{16:0}, 4.6 mole % (4.8 mole %, intact TG by GLC), C_{18:0}, 3.0 mole % (3.1 mole %), d₂-C_{18:0}, 11.9 mole % (12.5 mole %, sum of C_{18:1ω9} and C_{18:1ω7}), d₄-C_{18:0}, 39.3 mole % (38.9 mole %, sum of C_{18:2ω6} and its isomer), d₆-C_{18:0}, 41.1 mole % (40.5 mole %, sum of C_{18:3 9c,11t,13c}, C_{18:3 9c,11t,13r} and C_{18:3 9c,11t,13c}), d₂-C_{20:0}, 0.1 mole % (0.2 mole % of C_{20:1ω9}). In total dTG derived from the seed oils of *M. charantia*, the fatty acid components are C_{16:0}, 1.5 mole % (1.8 mole %, intact TG by GLC), C_{18:0}, 12.0 mole % (12.3 mole %), d₂-C_{18:0}, 16.9 mole % (17.4 mole %, sum of C_{18:1ω9}), d₄-C_{18:0}, 11.0 mole % (10.6 mole %, sum of C_{18:2ω6}), d₆-C_{18:0}, 58.6 mole % (57.5 mole %, sum of C_{18:3 9c,11t,13t} and C_{18:3 9c,11t,13c}). In the case of *Aleurites fordii*, C_{16:0}; 2.2 mole % (2.4 mole %, intact TG by GLC), C_{18:0}; 1.7 mole % (1.7 mole %), d₂-C_{18:0}; 5.5 mole % (5.4 mole %, sum of C_{18:1ω9}), d₄-C_{18:0}; 8.3 mole % (8.5 mole %, sum of C_{18:2ω6}), d₆-C_{18:0}; 82.0 mole % (81.2 mole %, sum of C_{18:3 9c,11t,13t} and C_{18:3 9c,11t,13c}). In the stereospecific analysis of fatty acid distribution in the TG species of the seed oils of *T. kilirowii*, C_{18:3 9c,11t,13r} and C_{18:2ω6} were mainly located at sn-2 and sn-3 position, while saturated acids were usually present at sn-1 position. And the major molecular species of (C_{18:2ω6})(C_{18:3 9c,11t,13c})₂ and (C_{18:1ω9})(C_{18:2ω6})(C_{18:3 9c,11t,13c}) were predominantly composed of the stereoisomer of sn-1-C_{18:2ω6}, sn-2-C_{18:3 9c,11t,13c}, sn-3-C_{18:3 9c,11t,13c}, and sn-1-C_{18:1ω9}, sn-2-C_{18:2ω6}, sn-3-C_{18:3 9c,11t,13c}, respectively, and the minor TG species of (C_{18:2ω6})₂(C_{18:3 9c,11t,13c}) and (C_{16:0})(C_{18:3 9c,11t,13c})₂ mainly comprised the stereoisomer of sn-1-C_{18:2ω6}, sn-2-C_{18:2ω6}, sn-3-C_{18:3 9c,11t,13c} and sn-1-C_{16:0}, sn-2-C_{18:3 9c,11t,13c}, sn-3-C_{18:3 9c,11t,13c}. The TG of the seed oils of *Momordica charantia* showed that most of CTA, C_{18:3 9c,11t,13r}, occurred at sn-3 position, and C_{18:2ω6} was concentrated at sn-1 and sn-2 compared to sn-3. Main TG species of (C_{18:1ω9})(C_{18:3 9c,11t,13t})₂ and (C_{18:0})C_{18:3 9c,11t,13t}₂ were consisted of the stereoisomer of sn-1-C_{18:1ω9}, sn-2-C_{18:3 9c,11t,13t}, sn-3-C_{18:3 9c,11t,13t} and sn-1-C_{18:0}, sn-2-C_{18:3 9c,11t,13t}, sn-3-C_{18:3 9c,11t,13t}, respectively, and minor TG species of (C_{18:2ω6})(C_{18:3 9c,11t,13t})₂ and (C_{18:1ω9})(C_{18:2ω6})(C_{18:3 9c,11t,13t}) contained mostly sn-1-C_{18:2ω6}, sn-2-C_{18:3 9c,11t,13t}, sn-3-C_{18:3 9c,11t,13t} and sn-1-C_{18:1ω9}, sn-2-C_{18:2ω6}, sn-3-C_{18:3 9c,11t,13t}. The TG fraction of the seed oils of *Aleurites fordii* was mostly occupied with simple TG species of (C_{18:3 9c,11t,13t})₃, along with minor species of (C_{18:2ω6})(C_{18:3 9c,11t,13t})₂, (C_{18:1ω9})(C_{18:3 9c,11t,13t})₂ and (C_{16:0})(C_{18:3 9c,11t,13t}). The stereospecific species of sn-1-C_{18:2ω6}, sn-2-C_{18:3 9c,11t,13t}, sn-3-C_{18:3 9c,11t,13t} and sn-1-C_{18:1ω9}, sn-2-C_{18:3 9c,11t,13t}, sn-3-C_{18:3 9c,11t,13t} are the main stereoisomers for the species of (C_{18:2ω6})(C_{18:3 9c,11t,13t})₂, (C_{18:1ω9})(C_{18:3 9c,11t,13t})₂ and (C_{16:0})(C_{18:3 9c,11t,13t}), respectively.

Key words : stereospecific analysis of triacylglycerols, fatty acid, pentafluorobenzyl ester, *Trichosanthes kilirowii*, *Momordica charantia*, *Aleurites fordii*, negative ion chemical ionization

1. 序論

TG 分子種의 脂肪酸 分布를 stereospecific 하게 分析하고자 하는 試圖는 오래전부터始作 되었으나, 1950年代에 들어와서 Litchfield[1]와 Brockerhoff[2]에 의해 비로서 그 方法이確立되었다. 즉, 그들은 Grignard 試藥을 利用한 化學的 方法이나 또는 lipase를 利用한 酶素的 方法으로, TG를 1(2), 2(3)-DG와 1, 3-DG로部分加水分解하여 이때 生成된 DG 混合物에서 TLC板으로 1(2), 2(3)-DG部分만을 分離한다. 이混合物에 phosphatidylphenol을 作用시켜 DG를 1, 2-diacyl-sn-glycerophosphatides와 2, 3-diacyl-sn-glycerophosphatides로 誘導體하고, 여기에 뱀毒에서 精製한 phospholipase A₂는 1, 2-diacyl-sn-glycerophosphatides 誘導體에만作用하여 2-position의 脂肪酸을 遊離시킨다. 이때 生成된 遊離脂肪酸을 回收하여 그組成을 分析하고 또 이때 生成된 1-acyl-lysophosphatides를 未反應物인 2, 3-diacyl-sn-glycerophosphatides로부터 TLC나 column chromatography로相互分離하여, 알칼리로 加水分解하여 1-position의 脂肪酸을 遊離化시켜 그組成을 求한다. 이렇게 얻어진 data와 總脂肪酸組成을 基礎로 하여 주어진 公式[3]에 依據하여 TG 分子種의 3-position에 結合한 脂肪酸組成을 計算한다.

現在 널리 使用되는 TG 分子種의 構成脂肪酸 分布의 立體特異的 分析法은 우선 HPLC로 TG를 分子種別로相互分離한 後, 各分子種 分割을 Grignard 試藥이나 lipase로部分加水分解하여, 1, 2 (2, 3)-DG와 1, 3-DG의 混合物을 生成하게 한다 (이 点은 上記 言及한 方法과 同一함). 다음으로 이混合物에 高純度의 S-(+)-(1-naphthyl) ethyl isocyanate 溶液을 加하여 50°C에서 長時間 反應시켜 diacylglycerol (DG)를 1, 2-DG-, 2, 3-DG- 및 1, 3-DG-naphthylethylurethane (NEU)으로 誘導體化시키고, 이것을 精製한 다음 silica column 또는 chiral column이 裝着된 HPLC에서 各各의 enantiomer로 分離한다. 各enantiomer의 脂肪酸을 分析하여 위에 言及한 公式 [3]에 依據하여 各TG分子種의 脂肪酸 分布를 調查한다. 이方法으로 Christie[4,5]는 몇種의 油脂에서 얻은 TG를 silver ion-HPLC와 RP-HPLC로 分子種으로 分割하고 各分割을部分加水分解하여 生成된 DG를 (S)-(+)-1-(1-naphthyl)

ethylurethane 誘導體로 만들어, 1, 3-DG, 1, 2-DG 및 2, 3-DG를 silica 칼럼을 裝着한 HPLC로 서로 重複됨이 없이 分離한 바 있다.

前報[6]에서 言及한 바와 같이 박科植物인 하늘타리 (一名 하늘수박, *Trichosanthes kirilowii*)와 여주 (*Momordica charantia*) 種子油의 TG에는 conjugate trienoic acid (CTA)의 하나인 punicic acid ($C_{18:3} \text{ 9c,11t,13c}$)와 α -eleostearic acid ($C_{18:3} \text{ 9c,11t,13t}$)가相當量 含有되어 있으며, 또 大戟科植物인 油桐 (*Aleurites fordii*)의 種子油에도 α -eleostearic acid가 多量으로 含有되어 있다. 그런데 CTA를 含有한 TG를 Grignard 試藥으로部分加水分解하면 punicic acid 또는 α -eleostearic acid의 殘基가大部分 破壞되거나 異性化된다고 하며[7,8], 또 脾臟 lipase는 TG 分子種의 飽和脂肪酸인 palmitic acid, stearic acid와 不飽和脂肪酸인 oleic acid, linoleic acid를 容易하게 加水分解하나, CTA인 punicic acid와 α -eleostearic acid의 ester bond를 加水分解하지 못한다고 報告한 바 있다[7,8]. 이와 같이 CTA가 結合된 triacylglycerol (TG)의部分加水分解가 어려움으로, Litchfield[1]와 Brockerhoff[2]의 方法을爲始하여 現在까지 使用되고 있는 method으로는 이TG의構成脂肪酸의分布를 立體特異的으로 分析한다는 것은 不可能하다고 생각되어진다.

Ryhage와 Stenhagen[9]에 의하여 mass-spectrometry (MS) 技法이 脂肪酸 分析에導入된 以來, 이는 現在까지 脂肪酸의 構造決定에 가장 強力하고 效率의인 分析法으로 알려져 있으나, 이方法으로는 不飽和脂肪酸의 geometric 또는 optical isomer의相互區別이 어렵고, 또 分析하고자 하는 脂肪酸만을 그混合物에서純粹分離하여야 하는 어려운 點이 있다. 따라서 MS 分析에서도 그 技能性을 높이기 위하여 gas-liquid chromatography (GLC), NMR 또는 IR-spectrometry와 같은相互補完의인 다른 어떤方法이 純用되지 않으면 안된다. 그 중 GLC을 mass-spectrometry에結合시킨 GLC-mass spectrometry (GLC-MS)는 未知脂肪酸을純粹分離하지 않고도 그構造를決定할 수 있어 脂肪酸構造分析에 必須의인 器機로 널리 使用되고 있다.

GLC-MS의 mode로는 electron impact mode (EI)와 chemical ionization mode (CI)가 있는데 前者는 GLC의 column에서分離된 有機

分子를 electron beam으로 攻擊하여 fragmentation이 일어나게 하며, 이때生成된 fragment의 pattern을 보아 이分子의構造를 알 수 있는데 反하여, 後者인 CI mode는 Munson과 Field[10, 11]에 의하여 처음으로導入되었으며, 이 mode에서는 GLC에서 分離된成分의 特徵的인 ion (diagnostic ion 또는 characteristic ion)이 electron impact 보다는 ion-molecule反應에 의하여生成된다. 이 技法에서는 壓力이 1 torr程度로 높아 ion source에서 먼저 reagent gas (methane, butane, ammonia等)가 electron impact에 의하여 ion화되며, 이 ion은 reagent gas와는 거의反應하지 않고 試料分子와反應하여 이를 쉽게 ion화한다. 이 mode의 여러長點중의 하나는 CI mode의 transfer energy가 EI mode의 그것보다 훨씬 낮으므로 EI mode에서 종종 볼 수 없는試料의分子量情報を얻을수있다는 것이다. 다음으로重要한 것은 CI에 의하여生成된 even-electron protonated ion들은 [例如서, M-H]⁺]에서生成된 radical molecular ion (M^{•+})보다 훨씬 安定하다는 것이다. 또 CI에서는 mass spectrum의 pattern이 試料를 ion화한 gas의性質에 따라 달라지는데, 이性質을利用하여 여러 다른 reagent gas를 使用하므로서 그試料分子의構造에관한情報を얻을수있다는 것이다.

本實驗에서는 새로운方法으로 CTA를 가진 TG의分子種을 stereospecific하게 分析하기 위하여 먼저 하늘타리, 여주와 油桐種子脂質에서分離하고 이것을逆相- 또는 銀ion-HPLC로分子種을相互分離하였다. 여기서 얻은各TG分子種의二重結合을重水素로飽和시킨後 Grignard試藥으로部分加水分解하여 deuterated DG (dDG)混合物을生成하게하였다. 이 dDG混合物을 NEU誘導体化하여 silica 칼럼으로 1, 2-dDG-NEU, 2, 3-dDG-NEU와 1, 3-dDG-NEU로分割하고, 얻어진 dDG-NEU剖分의脂肪酸을遊離化시켜 pentafluoro- benzylbromide로脂肪酸-pentafluorobenzyl ester의誘導體로만들었다[12]. 이것을 GLC-mass spectrometry의 negative ion chemical ionization (NICI) mode로構成脂肪酸의分子量에該當하는 (M-1)⁻의intensity를測定하여構成脂肪酸의 mole %를求하여公式[3] 따라各分子種의脂肪酸의立体特異的分布를調査하였다.

2. 實驗

試料인 하늘타리種子 및 여주와 油桐의種子를 1999年 가을에 釜山과 慶南一圓에서購入하여 使用하였으며, 總脂質抽出, TG의純粹分離, HPLC에 의한 TG分子種의相互分離, 試料의脂肪酸 methyl ester化方法은前報[6]報告한 바와 같다.

分離한 TG分子種脂肪酸의 deuteration 및 立体特異的分析[13-15, 23, 24]

1. TG分子種脂肪酸의 deuteration ; 각 TG 또는 그分割 (TG, 1~2 mg)을 teflon gum-lined screw cap을 한 8 mL容 vial에 옮기고, 여기에小型 magnetic stirrer를 넣고, 1 mL의 1, 4-dioxane을 넣어 TG를完全히 녹였다. 이 vial을 He gas로 3分間 flush한後에 Wilkinson觸媒 5 mg을 넣고 단단히 마개를 하고 vial을攪拌하였다. 마개에 두 개의 주사바늘을 꽂아 한쪽 바늘 구멍으로는 He gas를注入시켜 vial內部를 3分間 purging하고, 다른쪽의 주사바늘 구멍을通하여 gas가排出되도록 하였다. 이런操作을 끝내고 곧 D₂ gas로 switching하여 이 gas를 120分間注入하면서攪拌하였다(이때 vial의溫度를 55°C로維持하였다). 反應이 끝난後殘存溶媒를窒素氣流下에서完全히除去하고 hexane으로 deuterated TG를回收하여, 1回用 FlorisilTM column에 loading하여 hexane-acetone (96 : 4, v/v) 10 mL을 흘려 deuterated TG (dTG)를精製하였다.

2. dTG의部分加水分解

a. Grignard試藥調製[16] 0.3 g의 magnesium 부스러기 (turnings)을 250 mL容 round-bottom flask에 넣은 다음, 여기에 dry diethyl ether 25 mL과極少量의 I₂를加하여 magnetic stirrer로攪拌하면서 I₂를 천천히 녹였다. 이溶液에 0.2 mL의 C₂H₅Br를 10~20分에 걸쳐少量씩 수차례加하면서反應液이褐色으로變할 때까지攪拌하였고, 다시 6~7分에 걸쳐 C₂H₅Br을一回 0.2 mL씩加하여 C₂H₅Br의總量이 1.0 mL되게 하였으며 마지막 0.2 mL의 C₂H₅Br를加한後 30分間 더攪拌하였다. 이混合物을常溫에放置하여 얻어진透明한上層液만을 Grignard試藥으로使用하였다.

b. Grignard試藥에 의한 部分加水分解[17]

精製된 上記의 dTG (deuterated TG, 約 1 mg)를 100 mL容 screw-cap 試驗管에 옮기고 pyridine으로 乾燥시킨 dry diethyl ether 10 mL을 加하여 試料를 完全히 녹였다. 여기에 새로이 製造한 0.5M의 Grignard 試藥 (ethyl magnesium bromide in dry diethyl ether) 10 mL를 加하여 正確히 1分間 強力한 搅拌器로 搅拌하면서 應시킨 다음, 蒸溜水 2 mL의 pentane-acetic acid (5 mL : 6 μ L)의 混合液을 加하여 反應을 中止시켰다. 反應液을 充分히 搅拌한 後 遠心分離器로 有機溶媒層을 分離하였으며 이 有機溶媒層을 다시 2~3回 水洗한 다음 溶媒를 除去하고 反應生成物을 無水芒硝로 乾燥시켰다. 生成物이 dDG, dTG와 dMG의 混合物이므로 이것을 hexane-acetone (96 : 4, v/v, 3 mL)로 活性化시켜 둔 Bond ElutTMNH₂ column에 loading하여, hexane-acetone (96 : 4, v/v) 10 mL로 TG를 除去하고, hexane-acetone (80 : 20, v/v) 10 mL로 dDG를 分離하였다.

c. Lipase에 의한 dTG의 加水分解[18-20]

1M의 tris-buffer (pH 8.0) 1 mL, 2.2 % calcium chloride 溶液 0.1 mL과 0.05 % 膽汁酸 0.25 mL을 마개달린 試驗管에 넣어 잘 섞은 後, dTG를 1 mg 넣어 25~30°C의 water bath에 1分間 放置하였다. 여기에 tris-buffer에 녹인 脾臟 lipase를 爲始하여 *Candida cylindracea*, *Chromobacterium viscosum*, *Geotrichum candidum*, *Pseudomonas fluorescens*, *Rhizophorus delemar*, *R. arrhizus*와 *Mucor miehei*의 lipase를 각각 0.1 mL (200 units/1 mL)를 넣어 water bath에서 다시 5分間 搅拌한 後, 에탄올 1 mL와 6N 鹽酸 1 mL를 넣어 反應을 停止시켰다. 여기에 hexane-diethyl ether (1 : 1, v/v) 混合溶媒 10 mL와 蒸溜水 10 mL를 加하여 搅拌한 後, 有機溶媒層을 回收하여 窒素氣流下에서 溶媒를 除去하였다. 이렇게 얻어진 deuterated TG, DG, MG 및 遊離脂肪酸의 混合物에서 위의 2-b 項에서 言及한 方法으로 dDG를 回收하였다.

3. dDG의 Naphthyl Ethyl Urethane

(dDG-NEU) 誘導體化[17]

dDG의 混合物에 25 μ L의 (S)-(+)-(1-naphthyl)ethyl isocyanate와 4 mg의

4-pyrrolidinopyridine (1 mL toluene에 녹인 後)을 加하여 50°C에서 하룻밤 反應시켰다. 冷却한 反應液에 10% taurine 水溶液 100 μ L를 加하고 여기에 diethyl ether 10 mL와 물 2 mL를 加하여 잘 混和시켜 反應生成物을 diethyl ether層으로 移行시키고 (2~3回 反復), 모은 diethyl ether層을 無水芒硝로 脱水하여 窒素氣流下에서 溶媒를 除去하였다. 이렇게 얻어진 固形物을 methanol/H₂O (95 : 5, v/v, 10 mL)로 녹여 이 methanol/H₂O 溶液으로 이미 水和시켜 둔 1回用 Bond ElutTMODS column에 loading하였다. 이 溶媒 15 mL을 흘려 不純物을 完全히 除去한 다음 10 mL의 acetone으로 DG-DEU 誘導體를 純粹히 分離하였다.

4. HPLC에 의한 dDG-NEU 誘導體의 resolution[17]

上記의 acetone液을 窒素氣流下에서 溶媒를 濃縮하여 얻어진 固形物을 hexane에 녹여 HPLC 分析用 試料로 하였다. 使用한 HPLC는 isocratic solvent delivery system을 갖춘 Waters社의 Model 440이였으며, 分離 column으로 Hypersil (250 × 4.6 mm, 3 μ m, HiChrom Ltd., Reading, UK) 2個를 連結하여 使用하였다. 溶媒는 0.4 % propan-1-ol (2 % H₂O 含有)-hexane system을 使用하였으며 流速을 1.0 mL/min로 하여 isocratic하게 展開하였다. 이때 分離되는 peak를 感知하기 위하여 UV 檢出器 (Model M-720, Young-In Scientific Co., Ltd, Seoul, Korea)를 使用하였으며, 測定波長을 280 nm에 固定하였다. HPLC에서 1, 3-, 1, 2-dDG-NEU 및 2, 3-dDG-NEU 誘導體의 順으로 溶離된 각 peak의 溶出液을 모아 窒素氣流下에서 溶媒를 除去하고 다음 實驗의 試料로 使用하였다.

5. dDG-NEU 誘導體의 脂肪酸의 methyl ester化[17]

HPLC에서 分離한 dDG-NEU 劑分의 一部을 diethyl ether에 녹여 10 mL容 마개달린 試驗管에 옮겨 殘存溶媒를 完全히 除去하였다. 여기에 dichloromethane 0.5 mL를 加하여 固形物을 完全히 녹인 다음 10% sodium methoxide-methanol과 methyl acetate을 각각 25 μ L를 加하여 50°C에서 1時間 反應시켜 脂肪酸 殘基를 methyl化하였다. 反應後 窒素氣流下에서 內容物

을 乾固시킨 다음 hexane으로 脂肪酸 methyl ester를 回收하여 이를 1回用 FlorisilTM column에 mounting한 後 hexane-acetone (99 : 1, v/v)로 純粹히 精製하여 GLC用 試料로 使用하였다. GLC 分析條件은 前報[6]에 기술한 바와 같다.

GLC-MS에 의한 構成脂肪酸의 同定

1. dDG-NEU 誘導體의 脂肪酸의 遊離化 및 pentafluorobenzyl화[21]

ddG-NEU 劑分의 나머지 部分을 diethyl ether에 녹여 마개달린 試驗管에 옮기고 餘分의 溶媒를 完全히 除去한 後에 0.1M KOH-ethanol 溶液을 0.25 mL 넣어 常溫에서 하룻밤 放置하여 加水分解시켰다. Acetic acid 한방울을 떨어뜨려 反應을 停止시키고, 이 反應生成物에 dry diethyl ether 3 mL, hexane 3 mL와 蒸溜水 2 mL를 加하여攪拌하면서 遊離脂肪酸을 有機溶媒層에 옮아가도록 하였다. 이 試驗管을 遠心分離하여 分離된 diethyl ether層만을 모아 窒素氣流下에서 殘存溶媒를 完全히 除去한 後에 10⁻² torr의 真空 desiccator에서 水分을 完全히 除去하였다.

이렇게 얻어진 遊離脂肪酸에 10% pentafluorobenzyl bromide-acetonitrile 溶液과 20% diisopropylethylamine-acetonitrile 溶液을 각각 25 μL씩 加하여 常溫에서 15分間放置하여 pentafluorobenzyl 脂肪酸 (PFB-脂肪酸)으로 誘導体하였다. 이 生成物을 殘存溶媒의 除去後 一回用 FlorisilTM 칼럼에 loading하여 8 mL의 hexane-acetone (8 : 2, v/v)을 흘려 脂肪酸-PFB 誘導體를 純粹分離하여 GLC-MS 分析用 試料로 使用하였다.

2. GLC-MS의 分析條件[22]

Hewlett Packard 5890 gas chromatograph에 quadrupole system인 Hewlett-Packard 5989 mass engine을 付着한 GLC-MS를 使用하였다. Column으로 DB-1을 coating한 fused silica column (10 m × 0.22 mm, film thickness, 2 μm, J & W Scientific, Folsom, CA)을 使用하였고, column 溫度는 150°C에서 1分間維持한 後 235°C까지 15°C/min으로 昇溫하였으며 이 溫度에서 260°C까지는 5°C/min으로 programming하였다. Carrier gas는 He으로 50 cm/s의 速度로

흘렸으며 使用한 mode는 NICI (negative ion chemical ionization) mode였으며, moderating (reagent) gas는 methane gas를 使用하였다. PFB ester의 最大的 signal을 얻기 위하여 mass spectrometer의 壓力を 0.1 torr으로 하고 ion source의 電壓은 50eV으로 하며 selected ion monitoring (SIM)은 m/z 279와 285에서 하였다.

3. 結果 및 考察

前報[6]에 報告한 바와 같이 하늘타리 種子油의 主要한 TG 分子種은 (C_{18:2ω6})(C_{18:3 9c,11t,13c})₂, (C_{18:1ω9})(C_{18:3 9c,11t,13c})₂와 (C_{18:2ω6})₂(C_{18:3 9c,11t,13c})이 고, 여주種子油 TG의 分子種은 그 折半을 차지하고 있는 (C_{18:1ω9})(C_{18:3 9c,11t,13c})₂와 (C_{18:0})(C_{18:3 9c,11t,13c})₂였으며, 油桐種子油에는 (C_{18:2ω6})(C_{18:3 9c,11t,13c})₂와 (C_{18:0})(C_{18:3 9c,11t,13c})₂가 重要 TG 分子種이었다. 이들은 모두 punicic acid 또는 α-eleostearic acid를 1分子乃至는 2分子를 含有하고 있었으며, Fig. 1은 CTA인 punicic acid를 含有한 하늘타리 種子油 TG를 Grignard 試藥으로 部分加水分解하여 生成된 遊離脂肪酸을 GLC로 分析한 chromatogram이다. 大部分의 CTA가 破壞됨을 볼 수 있었으며, 여주 種子油의 TG를 이 試藥으로 部分加水分解하여도 α-eleostearic acid가 역시 破壞됨을 알 수 있었다(data省略).

各各의 總TG 및 HPLC에서 分離된 TG의 主要分剖을 1, 4-dioxane에 完全히 녹인 다음 Wilkinson 觸媒[23,24]의 存在下에 重水素 (D₂)를 各分子의 二重結合에 附加시켰다 (deuteratation). 殘存溶媒를 窒素氣流下에서 完全히 除去한 後에 hexane으로 deuterated TG (dTG)를 回收하여 一回用 FlorisilTM column에서 hexane-acetone (96 : 4, v/v)로 dTG를 精製하였으며, 그 一部를 濃縮하고 transmethylation하여 GLC로 脂肪酸組成을 分析한 結果 大部分의 二重結合이 重水素에 의하여 附加되었음을 確認할 수 있었다(Fig. 2).

前報[6]에 報告한 바와 같이 intact TG의

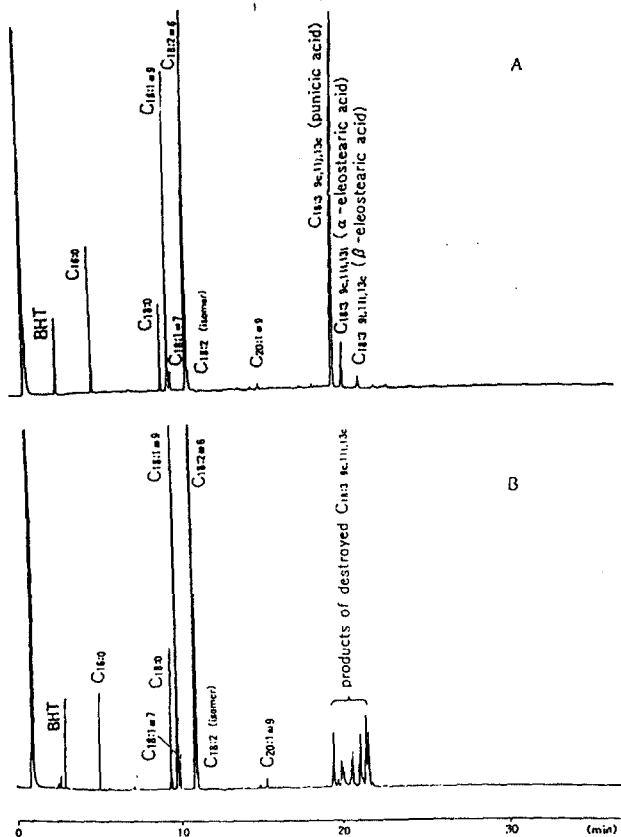


Fig. 1. GLC chromatogram of the fatty acid methyl esters of intact (A) and Grignard reagent-treated triacylglycerols (B) of the seed oils of *T. kirilowii*.

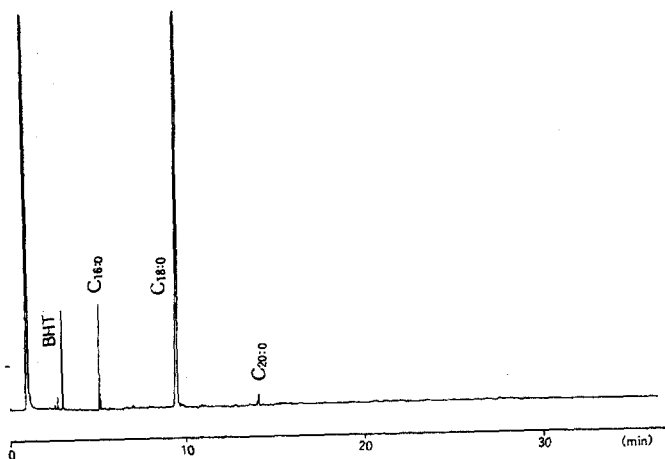


Fig. 2. GLC chromatogram of the fatty acid methyl esters of deuterated triacylglycerols of the seed oils of *T. kirilowii*.

CTA 殘基는 pancreatic lipase와 微生物 *Candida cylindracea*, *Chromobacterium viscosum*, *Geotrichum candidum*, *Pseudomonas fluorescens*, *Rhizopus delemar*, *R. arrhizus*와 *Mucor miehei*의 lipase에 의하여 加水分解되지 않았으나, deuterated CTA-TG는 이 酶素들에 의하여 部分加水分解되었으며 또 Grignard 試藥에 의하여서도 脂肪酸 分子의 아무런 破壞없이 加水分解되었다(data 省略). 앞으로 繼續되는 實驗에는 以上의 2가지 部分加水分解 方法中 短時間에 實驗을 簡單하게 實施할 수 있는 Grignard 試藥에 의한 部分加水分解法을 選擇하였다.

DG의 diastereomer를 HPLC로 resolution하는 方法에는 DG를 DG-urethane 誘導體로 만들어 silica 칼럼으로 分析하는 方法과 DG를 3, 5-dinitrophenyl urethanes으로 만들어 chiral 칼럼으로 分析하는 方法이 있다[25]. 前者는 칼럼이 低廉하고 DG가 toluene 溶媒에서 알카리 觸媒로 迅速하게 DG-urethanes로 誘導體化되고, 反應중에 racemi化가 全然 일어나지 않으며 [26] 또 trichlorosilane에 의하여 本來의 DG를 再生할 수 있는 長點 [27~29]이 있어 後者보다 億り 利用되고 있다.

本 實驗에서도 나머지 精製한 dTG를 Grignard 試藥을 使用하여 dDG의 混合物로 部分加水分解하고 이 dDG를 위에 言及한 前者の 方法에 따라 dDG-urethanes으로 誘導體化하였다. 즉 dDG 混合物에 (S)-(+)-1-(1-naphthyl) ethyl isocyanate와 4-pyrrolidinopyridine을 加하여 50°C에서 하룻밤 反應시켜 dDG-NEU 誘導體를 生成하게 하였다. 이 生成物을 diethyl ether로 回收하여 溶媒를 除去한 後에 methanol/H₂O (95 : 5, v/v)에 녹여 1回用 Bond ElutTMODS column에 loading하여 acetone으로 dDG-DEU 誘導體를 比較的 純粹히 溶離하였다. 溶媒를 除去後 얻어진 固形物을 hexane에 녹여 Hypersil (250 × 4.6 mm, 3 μm, HiChrom Ltd., Reading, UK) 2個를 連結한 HPLC 칼럼에서 0.4% propan-1-ol (2% H₂O 含有)-hexane의 溶媒 system으로 isocratic하게 resolution하였다.

Christie[4, 5]는 牛乳脂質이나 魚油에서 分離한 TG에서와 같이 그 脂肪酸組成이 複雜한 脂質의 TG를 DG-NEU 誘導體하여 이것을 HPLC의 silica 칼럼에서 1, 3-, 1, 2- 및 2,

3-DG-NEU 誘導體의 相互分離를 試圖하였으나 peak가 너무 複雜하여 이 方法으로 TG를 stereospecific하게 分析하는 것은 不可能하다고 하였으나, 脂肪酸組成이 單純한 植物油脂의 TG를 DG-NEU 誘導體로 만들어 HPLC의 silica 칼럼에서 分離하였더니 1, 3-, 1, 2- 및 2, 3-DG-NEU 誘導體가 明確히 區別되었다고 報告하였다.

本 實驗에서도 脂肪酸組成이 簡單한 palm油의 TG에서 誘導된 DG-NEU (naphthyl ethyl urethane)를 HPLC로 分析하였더니 Fig. 3-A에서 보는 바와 같이 1, 3-, 1, 2- 및 2, 3-dDG-NEU로 分離할 수 있었으며, 또 하늘타리, 雷州와 油桐의 種子油 TG의 構成脂肪酸을 重水素로 飽和(deuteration)시켜 脂肪酸組成이 매우 單純한 deuterated TG (dTG)로 轉換하여 이것을 위에서 言及한 方法으로 部分加水分解하고 dDG-NEU로 誘導體化하였다. 이것을 HPLC로 分析한 結果는 Fig. 3-B (하늘타리)에서 보는 바와 같이 1, 3-, 1, 2- 및 2, 3-dDG-NEU 誘導體가 順次的으로 깨끗하게 溶離되 매우 滿足스러웠다.

脂肪酸의 分子量을 GLC-MS로 分析할 때는 그 脂肪酸을 electron impact(EI) mode 代身에 chemical ionization(CI) mode를 使用하며, 이 CI mode에는 electron spray CI, atmospheric pressure CI 等 여러가지의 形態가 現在 널리 使用되고 있다. 그러나 이들 方法들은 모두 相異한 analytical specificity를 가지고는 있으나, 그 基本原理는 同一하다. 즉, 簡便 ion化되는 moderating gas (例로서 CH₄ gas, NH₃ gas)을 一次的으로 ion化시키면 이것이 다시 analyte을 mild하게 ion化시켜줌으로 그 分子가 破壞되지 않고 簡便 ion化하여 (M-1) (M; 分子量)에 該當하는 diagnostic한 parent ion이 發生한다. 그 한 例로서 脂肪酸 또는 그 誘導體의 pentafluorobenzyl ester은 electronegative한 fluorine을 가졌으므로 簡便 陰으로 charge됨으로 mass spectrometer에서 陰 ion을 捕獲할 수 있는 negative-ion chemical ionization(NICI) mode에서 測定하면 (M-1)에 該當하는 parent peak가 簡便 觀察된다[21,30].

各試料에서 分離한 TG를 重水素化한 總 dTG와 HPLC에서 分離한 各 dDG-NEU 劑分의 一部을 取하여 0.1M KOH-ethanol 溶液으로 常溫에서 하룻밤 放置하여 加水分解하여 脂肪酸

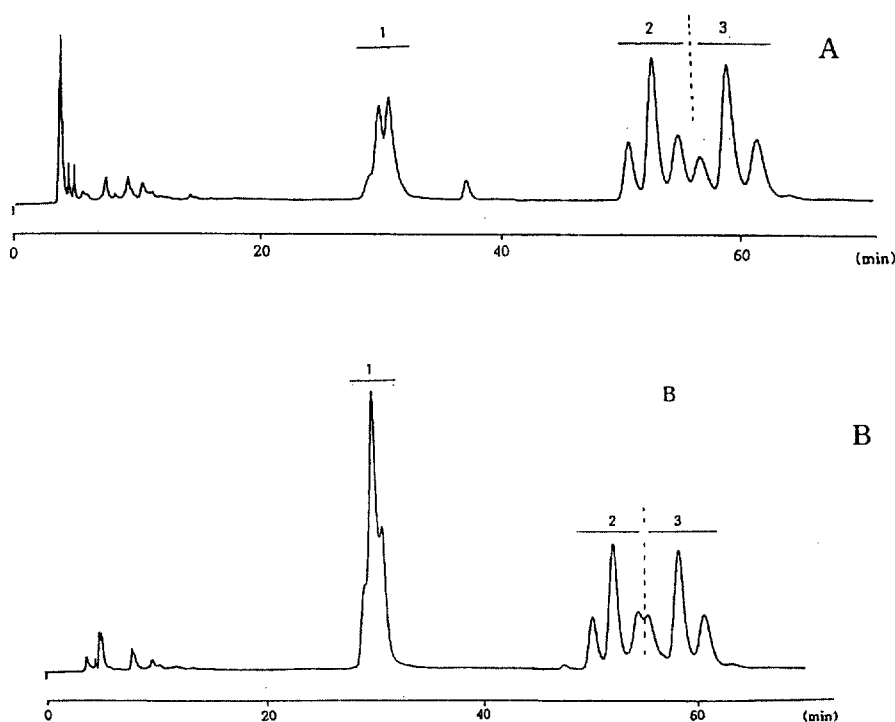


Fig. 3. HPLC resolution of (S)-(+)-1-(1-naphthyl)ethyl urethane derivatives of diacyl-sn-glycerols prepared from TGs of palm oil(A) and deuterated TGs of *T. kirilowii*(B)

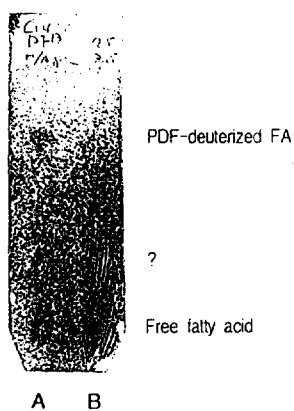


Fig. 4. TLC chromatoram of fatty acid-PFB ester (A) and free fatty acid (B)

Adsorbent ; kieselgel 60 F₂₅₄

Developing solvent ; hexane : acetone (98 : 2, v/v)

Coloring ; sprayed 50% H₂SO₄ and charred at 150°C

을遊離시켰다. 이遊離脂肪酸을回收하여殘存溶媒와水分을完全히除去하고, 이것을 10% pentafluorobenzyl bromide-acetonitrile溶液과 20% diisopropylethylamine-acetonitrile溶液과 함께常溫에서 15分間放置하여 pentafluorobenzyl脂肪酸(脂肪酸-PFB ester)으로誘導体化하였다(Fig. 4). 反應生成物를 hexane으로回收·濃縮하여 FlorisilTM 칼럼에서 hexane-acetone(8:2, v/v)으로脂肪酸-PFB ester를比較的純粹히精製하였다.

重水素로飽和시킨脂肪酸-PFB ester를 70eV에서 EI mode의 mass spectrometer에서分析하였다니, Fig. 5에서 보는 바와같이分子量을 알수 있는(M-1)⁺의 peak가 아주작고또 다른 diagnostic peak를 찾기가무척어려웠고, 餘他 많은不必要한 peak들이觀察되었다. 따라서이方法(EI mode)을利用한 mass spectrometry로는脂肪酸組成을定量적으로計算하기에는不可能하였다. 다음에陰ion을捕獲할수는 NICI mode로 바꾸어 deuterated punicic acid와 deuterated α -eleostearic acid($d_6-C_{18:0}$)의脂肪酸-PFB ester를mass-spectrometry로測定한結果를Fig. 6-A와B에서나타내었는데, 脂肪酸carboxylate(M-1)⁻인peak가parent peak로m/z 289에나타났으나, PFB殘基는分子에서離脫되어 ion화 가스인methane과作用하여m/z 196 [(181 + 15), (PFB + CH₃)]으로charge되어 mass spectrum上에가장작은minor peak로나타났으며餘他 다른peak는觀察되지않았다. 이처럼 NICI mode에서는(M-1) peak와m/z 196의peak外에는 다른fragment는生成되지않았으므로, 이mode는EI mode와는判異하게脂肪酸의分子量測定에利用될수 있는再現性이높은測定方法임을알수 있었다.

脂肪酸-PFB ester를 NICI mode로分析하면 그脂肪酸의分子量測定은물론이고感度가 아주銳敏하여이方法은微量의脂肪酸의代謝產物測定에많이利用되어왔다[21,22]. Fig. 7에서보는바와같이 deuterated oleic acid($d_2-C_{18:0}$, A), linoleic acid($d_4-C_{18:0}$, B), punicic acid($d_6-C_{18:0}$, C)와 eicosamonoenoic acid($d_2-C_{20:0}$, D)의GLC-mass spectra인데 m/z 285, 287, 289과 317에서各脂肪酸의(M-1)⁻이parent peak로나타났으며, Fig. 8에서보는바와같이하늘타리, 여주및油桐의種子油에서

分離한TG를deuteration하여各試料의構成脂肪酸의parent peak를同時에測定할수있었다. 이chromatogram上에나타난各peak의intensity를測定하여그相對比로構成脂肪酸組成(mole%)의分析을試圖하였다. 즉, Table 1에서보는바와같이하늘타리, 여주및油桐의種子油에서由來된總dTG의脂肪酸을PFB ester로轉換여GLC-MS로그組成을分析한結果(mole%,各peak의intensity比)는各種子油의intact TG(重水素化하지않은TG)의脂肪酸組成을GLC로analysis한result[6]와거의一致하였다. 따라서本實驗에서는脂肪酸-PFB ester의定量時에各脂肪酸의含量補正을위한calibration curve를別途로作成하지않았다.

하늘타리에서分離한總TG를重水素化하여그構成脂肪酸을立體特異的으로分析한結果를Table 2에나타내었다. Punicic acid와linoleic acid와같은不飽和脂肪酸은glycerol殘基의sn-2와sn-3에치우쳐져있었으며, 饱和脂肪酸은sn-1에偏在해있었다. 하늘타리TG의主要分子種인(C_{18:2ω6})(C_{18:3 9c,11t,13c})₂에는sn-1-C_{18:2ω6}, sn-2-C_{18:3 9c,11t,13c}, sn-3-C_{18:3 9c,11t,13c}의立體特異異性体가大部分이고(Table 3), (C_{18:1ω9})(C_{18:2ω6})(C_{18:3 9c,11t,13c})의境遇에는sn-1-C_{18:1ω9}, sn-2-C_{18:2ω6}, sn-3-C_{18:3 9c,11t,13c}의立體特異異性体가제일많았으며, (C_{18:2ω6})₂(C_{18:3 9c,11t,13c})와(C_{16:0})(C_{18:3 9c,11t,13c})₂의分子種에는sn-1-C_{18:2ω6}, sn-2-C_{18:2ω6}, sn-3-C_{18:3 9c,11t,13c}과sn-1-C_{16:0}, sn-2-C_{18:3 9c,11t,13c}, sn-3-C_{18:3 9c,11t,13c}가主된立體特異異性体이였다. 이런結果로부터大部分의立體特異異性体에서C_{18:3 9c,11t,13c}의殘基가sn-3 또는sn-2의位置에偏在하고있음을알수있었다.

여주의重水素化한總TG의構成脂肪酸을立體特異的으로分析한結果를Table 4에나타낸바와같이 α -eleostearic acid는sn-3位置에若干치우쳐져存在하고있었으며linoleic acid는sn-3보다sn-1과sn-2position에偏在하고있었다. 여주TG의主要分子種인(C_{18:1ω9})(C_{18:3 9c,11t,13c})₂에는sn-1-C_{18:1ω9}, sn-2-C_{18:3 9c,11t,13c}, sn-3-C_{18:3 9c,11t,13c}의立體特異異性体가大部分이고, (C_{18:0})C_{18:3 9c,11t,13c})₂의分子種에는sn-1-C_{18:0}, sn-2-C_{18:2 9c,11t,13c}, sn-3-C_{18:3 9c,11t,13c}의立體特異異性体가제일많았으며, (C_{18:2ω6})(C_{18:3 9c,11t,13c})₂와(C_{18:1ω9})(C_{18:2ω6})(C_{18:3 9c,11t,13c})의分子種에는

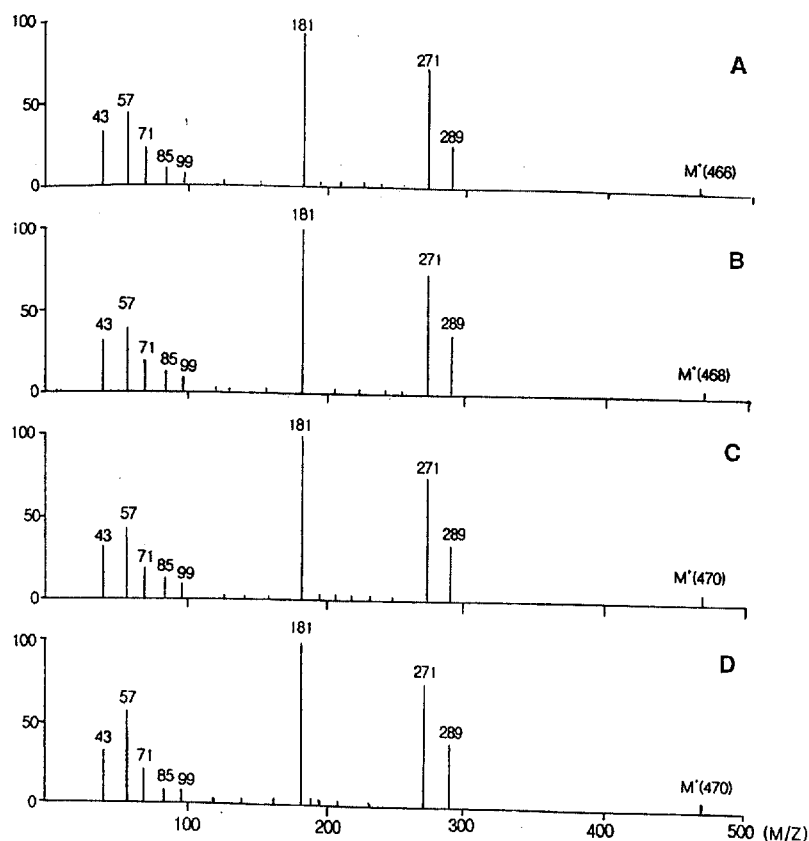


Fig. 5. Positive-ion electron impact (EI, 70eV) mass spectra of deuterated oleic acid (A), linoleic acid (B), punicic acid (C) and α -eleostearic acid-PFB esters (D)

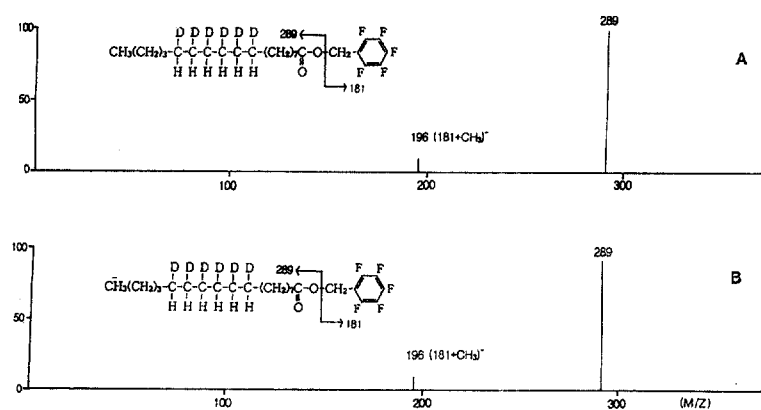


Fig. 6. Negative-Ion CI (CH_4) mass spectra of PFB deuterated punicic acid ($\text{C}_{18:3} \text{ 9c,11t,13c}$) (A) and α -eleostearic acid ($\text{C}_{18:3} \text{ 9c,11t,13t}$) (B)

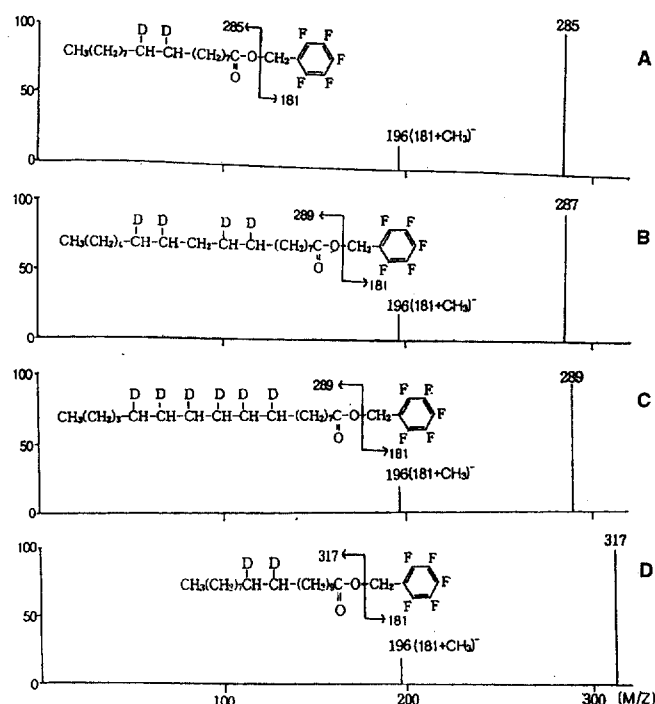


Fig. 7. Negative-ion chemical ionization (NICI) mass spectra of PFB esters of deuterated oleic acid ($d_2\text{-C}_{18:0}$, A), linoleic acid ($d_4\text{-C}_{18:0}$, B), punicic acid ($d_6\text{-C}_{18:0}$, C) and eicosamonoenoic acid' ($d_2\text{-C}_{20:0}$, D)

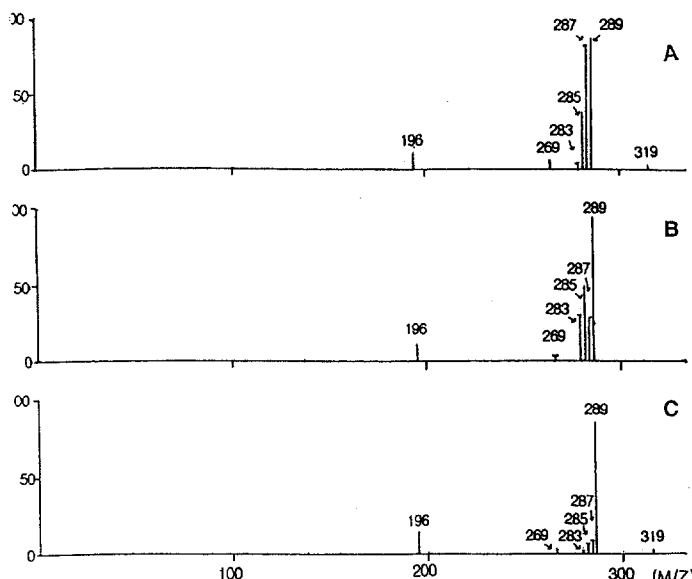


Fig. 8. NICI (CH_4)-mass spectra of PFB esters of deuterated fatty acids of triacylglycerols from the seed oils of *T. kirilowii* (A), *M. charantia* (B) and *A. fordii* (C)

Table 1. Fatty Acid Compositions (mole %) of Total Triacylglycerols from the Seed Oils of *Trichosanthes kirilowii* (A), *Momordica charantia* (B) and *Aleurites fordii* (C), Before and After Their Deuteration

Fatty acid	<i>Trichosanthes kirilowii</i>		<i>Momordica charantia</i>		<i>Aleurites fordii</i>	
	GLC ^{a)}	PFB ^{b)}	GLC ^{a)}	PFB ^{b)}	GLC ^{a)}	PFB ^{b)}
C _{16:0}	4.8	4.6	1.8	1.6	2.4	2.2
C _{18:0}	3.1	3.0	12.3	12.0	1.7	1.7
C _{18:1ω9}	11.8		17.4		5.4	
C _{18:1ω7}	0.7					
d ₂ -C _{18:0}		11.9		17.9		5.5
C _{18:2}	38.2		10.6		8.5	
C _{18:2(iso)}	0.7					
d ₄ -C _{18:0}		39.3		10.8		8.3
C _{18:3 9c,11t,13c}	38.0		0.4		0.3	
C _{18:3 9c,11t,13t}	2.1		57.1		81.2	
C _{18:3 9t,11t,13c}	0.4					
d ₆ -C _{18:0}		41.1		57.7		82.0
C _{20:1ω9}	0.2				0.5	
d ₂ -C _{20:0}		0.1				0.3

a ; ref. 6

b ; relative intensity of each (M-1) ion peak to the sum of intensities of total (M-1) ion peaks, produced from total dTGs of each sample by GLC-MS.

Table 2. Distribution of Fatty Acids in the sn-1, sn-2 and sn-3 Positions of Total Triacylglycerols from the Seed Oils of *Trichosanthes kirilowii*

Fatty acid	Intact TG composition mole %	Deuterated TG								
		deuterated fatty acid	composition ^{a)} mole %	1, 3-dDG ^{b)}	1,2-dDG ^{b)}	2, 3-dDG ^{b)}	sn-1 ^{c)}	sn-2 ^{d)}	sn-3 ^{e)}	sn-2 ^{f)}
C _{16:0}	4.8	C _{16:0}	4.6	5.3	6.3	2.5	8.8	3.1	1.2	4.5
C _{18:0}	3.1	C _{18:0}	3.0	3.5	3.2	2.3	4.4	2.0	2.6	2.4
C _{18:1ω9}	11.8	d ₂ -C _{18:0}	11.9	12.8	13.2	9.7	16.3	10.2	9.2	12.8
C _{18:1ω7}	0.7									
C _{18:2ω6}	38.2	d ₄ -C _{18:0}	39.3	37.7	38.8	41.4	35.1	42.5	40.3	41.2
C _{18:2(iso)}	0.7									
C _{18:3 9c,11t,13c}	38.0	d ₆ -C _{18:0}	41.1	40.6	38.5	44.2	34.9	42.2	46.4	39.0
C _{18:3 9c,11t,13t}	2.1									
C _{18:3 9t,11t,13c}	0.4									
C _{20:1ω9}	0.2	d ₂ -C _{20:0}	0.1	0.1	0.1	0.1	0.1	0.2	0.1	

*a ; relative intensity of each (M-1) ion peak to the sum of intensities of total (M-1) ion peaks of PFB-derivatives of total deuterated fatty acids, by NICI mass spectrometry

b NEU derivatives of 1, 3-, 1, 2- and 2, 3-dDG obtained after hydrolysis of deuterated TG from *Trichosanthes kirilowii* seed oils with Grignard reagent.

c ; (3 × dTG)-(2 × sn-2, 3-dDG)

d ; (3 × dTG)-(2 × sn-1, 3-dDG)

e ; (3 × dTG)-(2 × sn-1, 2-dDG)

f ; fatty acid composition of 2-dMG fraction derived from hydrolysis of deuterated triacylglycerols with Grignard reagent.

Table 3. Distribution of Fatty Acids in the sn-1, sn-2 and sn-3 Positions of the Main Species of Triacylglycerols from the Seed Oils of *Trichosanthes kirilowii*

fatty acid	mol% ^{a)}	Intact TG		total dTG		fraction											
						DT _{c2} ^{d)}			MDT _c			D ₂ T _c			PT _c		
		sn-1 ^{c)}	sn-2	sn-3	sn-1	sn-2	sn-3	sn-1	sn-2	sn-3	sn-1	sn-2	sn-3	sn-1	sn-2	sn-3	
C ₁₆ O	4.8	C ₁₆ O	4.6														
C ₁₈ O	3.1	C ₁₈ O	3.0														
C _{18:1} ω ₉	11.8	d ₂ -C ₁₈ O	11.9						42.1	20.9	10.1				37.5	10.1	5.2
C _{18:1} ω ₇	0.7																
C _{18:2} ω ₆	38.2	d ₄ -C ₁₈ O	39.3	60.3	48.5	38.7	29.1	33.1	35.2	54.1	73.1	65.4	28.1	35.3	35.9		
C _{18:2} (iso)	0.7																
C _{18:3} ω _{9,11,13c}	38.0	d ₆ -C ₁₈ O	41.1	39.6	51.4	61.3	28.9	46.0	54.7	45.8	26.7	34.5	34.4	54.6	58.9		
C _{18:3} ω _{9,11,13t}	2.1																
C _{18:3} ω _{9,11,13c}	0.4																
C _{20:1} ω ₉	0.2	d ₂ -C ₂₀ O															

^{a)} mol % by GLC^{b)} relative intensity to the sum of intensities of total peaks of PFB-derivatives of total deuterated fatty acids of total TG, by NICI mass spectrometry^{c)} cf Table 2^{d)} D ; dienoic acid, P ; palmitic acid, M ; monoenoic acid, T_c ; punicic acid.Table 4. Distribution of Fatty Acids in the sn-1, sn-2 and sn-3 Positions of Total Triacylglycerols from the Seed Oils of *Momordica charantia*

Fatty acid	composition mol%	deuterated TG											
		deuterated fatty acid	composition ^{a)} mol%	3-dDG ^{b)}	1, 2-dDG ^{b)}	1, 3-dDG ^{b)}	2, 3-dDG ^{b)}	sn-1 ^{c)}	sn-2 ^{d)}	sn-3 ^{e)}	sn-2 ^{f)}		
C ₁₆ O	1.8	C ₁₆ O	1.6		1.8	1.4	1.6	1.6	1.3	2.0	2.0		
C ₁₈ O	12.3	C ₁₈ O	12.0		13.1	10.5	12.4	11.3	9.7	15.0	10.2		
C _{18:1} ω ₉	17.4	d ₂ -C ₁₈ O	17.9		18.3	17.6	17.8	18.2	17.2	18.5	18.9		
C _{18:2} ω ₆	10.6	d ₄ -C ₁₈ O	10.8		9.4	13.1	9.9	12.5	13.6	6.2	15.0		
C _{18:3} ω _{9,11,13c}	0.4	d ₆ -C ₁₈ O	57.7		57.4	57.4	58.3	56.4	58.2	58.3	53.9		
C _{18:3} ω _{9,11,13t}	57.1												

^{a)} relative intensity to the sum of intensities of total peaks of PFB-derivatives of total deuterated fatty acids of total TG, by NICI mass spectrometry^{b)} NEU derivatives of 1, 3-, 1, 2- and 2, 3-dDG obtained after hydrolysis of deuterated TG from *Momordica charantia* seed oils with Grignard reagent.^{c)} (3 × dTG)-(2 × sn-2, 3-dDG)^{d)} (3 × dTG)-(2 × sn-1, 3-dDG)^{e)} (3 × dTG)-(2 × sn-1, 2-dDG)^{f)} fatty acid composition of 2-dMG fraction derived from hydrolysis of deuterated triacylglycerols with Grignard reagent.

$sn\text{-}1\text{-C}_{18:2\omega 6}$, $sn\text{-}2\text{-C}_{18:3}$ $9c,11t,13t$, $sn\text{-}3\text{-C}_{18:3}$ $9c,11t,13t$ 와 $sn\text{-}1\text{-C}_{18:1\omega 9}$, $sn\text{-}2\text{-C}_{18:2\omega 6}$, $sn\text{-}3\text{-C}_{18:3}$ $9c,11t,13t$ 가 主된 立体特異 異性体이었다(Table 5). Table 4와 5의 結果가 若干의 差異를 보이나 大部分의 立体特異 異性体에서 $C_{18:3}$ $9c,11t,13t$ 의 殘基가 $sn\text{-}2$ 또는 $sn\text{-}3$ 位置에 偏在하고 있음을 알 수 있었다.

한편 油桐의 境遇를 보면 總 TG의 80% 以上을 차지하고 있는 單純 TG分子種인 ($C_{18:3}$ $9c,11t,13t$)₃에는 $C_{18:3}$ $9c,11t,13t$ 가 glycerol殘基에 고루 分布하고 있음을 알 수 있으나(Table 6), 그 外의 分子種인 ($C_{18:2\omega 6}$) $(C_{18:3}$ $9c,11t,13t$)₂, ($C_{18:1\omega 9}$) $(C_{18:3}$ $9c,11t,13t$)₂와 ($C_{16:0}$) $(C_{18:3}$ $9c,11t,13t$)₂에서 分子種에는 $sn\text{-}1\text{-C}_{18:2\omega 6}$, $sn\text{-}2\text{-C}_{18:3}$ $9c,11t,13t$, $sn\text{-}3\text{-C}_{18:3}$ $9c,11t,13t$ 와 $sn\text{-}1\text{-C}_{18:1\omega 9}$, $sn\text{-}2\text{-C}_{18:3}$ $9c,11t,13t$, $sn\text{-}3\text{-C}_{18:3}$ $9c,11t,13t$ 및 $sn\text{-}1\text{-C}_{16:0}$, $sn\text{-}2\text{-C}_{18:3}$ $9c,11t,13t$, $sn\text{-}3\text{-C}_{18:3}$ $9c,11t,13t$ 가 主된 立体特異 異性体이었다(Table 7).

天然에 存在하는 植物油脂의 脂肪酸分布를 보면 不飽和脂肪酸이 $sn\text{-}1$ 보다 $sn\text{-}3$ 位置에 若干 치우쳐져 存在한다고 알려져 있다[30]. 以上的 結果에서도 하늘타리와 여주脂質에서 分離한 TG에 存在하는 conjugate trienoic acid는 $sn\text{-}1$ 位置보다 $sn\text{-}3$ 位置에 偏在하고 있었다.

一般 脂肪酸의 生合成을 보면 acetate가 滑面 小胞体의 fatty acid complex synthetase라는 複合酵素에 의하여 elongate되어 一定한 炭素길이의 饱和脂肪酸으로 合成되며[31], 이 饱和脂肪酸에 desaturase가 作用하여 不飽和脂肪酸이 만들어지고 있다고 알려져 있으나 punicic acid나 α -eleostearic acid와 같은 CTA의 生合成에 관한 研究는 全然 없다. 또 TG의 生合成 mechanism을 보면 phosphatidate가 specific한 phosphatidate tase에 의하여 加水分解되어 1, 2-diacylglycerol (DG)로 轉換되고, 이 1, 2-DG에 diacylglycerol acyl transferase에 의하여 새로운 acyl基가 $sn\text{-}3$ 位置에 導入되어 비로소 TG가 合成된다고 알려져 있으나[32], 왜 CTA脂肪酸이 $sn\text{-}2$ 또는 $sn\text{-}3$ 位置에 偏在하여 存在하는가를 說明하기에는 本實驗의 結果로는 不可能하다고 여겨진다.

4. 結論

TG의 CTA 殘基는 pancreatic lipase와 微生

物 *Candida cylindracea*, *Chromobacterium viscosum*, *Geotrichum candidum*, *Pseudomonas fluorescens*, *Rhizopus delemar*, *R. arrhizus*와 *Mucor miehei*의 lipase에 의하여 加水分解되지 않았으며, 또 이 殘基는 Grignard試藥에 의하여 大部分破壊됨을 觀察할 수 있었다. 각各의 總TG 및 HPLC에서 分離된 主要 TG分割을 D_2 gas로 飽和(deuteration)시켜 deuterized TG(dTG)로 만들어 Grignard試藥으로 部分加水分解하여 dDG混合物을 生成하게 하였다. 이것을 dDG-naphthyl ethyl urethanes (dDG-NEU)誘導體化하여 HPLC의 silica column에서 0.4% propan-1-ol (2 % H_2O 含有)-hexane의 溶媒로 1, 3-, 1, 2- 및 2, 3-dDG-NEU 誘導體를 順次의으로 resolution할 수 있었다. 각 dDG-NEU 劑分을 加水分解시켜 얻은 遊離脂肪酸을 脂肪酸-PFB ester으로 誘導體하여, NICI mode의 GLC-mass spectrometry (GLC-MS)로 分析한 結果 各 脂肪酸의 carboxylate인 ($M\text{-}1$)⁻의 parent peak로 나타났으며, PFB基는 離脫되어 이온化 가스인 methane과 作用하여 m/z 196 ($PFB + CH_3$)⁻으로 charge되어 mass spectrum上에 아주 작은 peak로 나타났으며, 그 外의 다른 fragment는 觀察되지 않았다. 하늘수박, 여주 및 油桐의 種子油의 dTG의 GLC-MS에서 deuterized oleic acid ($d_2\text{-C}_{18:0}$), linoleic acid ($d_4\text{-C}_{18:0}$), punicic acid ($d_6\text{-C}_{18:0}$)와 eicosamonoenoic acid ($d_2\text{-C}_{20:0}$)의 parent peak인 ($M\text{-}1$)⁻가 m/z 285, 287, 289과 317에서 觀察되었으며, GLC-MS로 測定한 하늘타리 總 dTG의 脂肪酸組成은 $C_{16:0}$; 4.6 mole % (4.8 mole %, intact TG by GLC), $C_{18:0}$; 3.0 mole % (3.1 mole %), $d_2\text{-C}_{18:0}$; 11.9 mole % (12.5 mole %, sum of $C_{18:1\omega 9}$ and $C_{18:1\omega 7}$ of intact TG), $d_4\text{-C}_{18:0}$; 39.3 mole % (38.9 mole %, sum of $C_{18:2\omega 6}$ and its isomer), $d_6\text{-C}_{18:0}$; 41.1 mole % (40.5 mole %, sum of $C_{18:3}$ $9c,11t,13t$, $C_{18:3}$ $9c,11t,13r$ and $C_{18:3}$ $9t,11t,13c$), $d_2\text{-C}_{20:0}$; 0.1 mole % (0.2 mole % of $C_{20:1\omega 9}$)로 하늘수박의 intact TG의 脂肪酸組成 (mole %)과 거의 一致하였다. 여주 種子油의 TG에서도 $C_{16:0}$; 1.5 mole % (1.8 mole %, intact TG by GLC), $C_{18:0}$; 12.0 mole % (12.3 mole %), $d_2\text{-C}_{18:0}$; 16.9 mole % (17.4 mole %, sum of $C_{18:1\omega 9}$), $d_4\text{-C}_{18:0}$; 11.0 mole % (10.6 mole %, sum of $C_{18:2\omega 6}$), $d_6\text{-C}_{18:0}$; 58.6 mole % (57.5

Table 5. Distribution of Fatty Acids in the sn-1, sn-2 and sn-3 Positions of the Main Species of Triacylglycerols from the Seed Oils of *Momordica charantia*

fatty acid	Intact TG mol% ^{a)}	total dTG fatty acid mol% ^{b)}	fraction												
			MT _{ci2} ^{a)}			S _t T _{ci2}			DT _{ci2}						
			sn-1 ^{c)}	sn-2	sn-3	sn-1	sn-2	sn-3	sn-1	sn-2	sn-3				
C ₁₆₀	1.8	C ₁₆₀	4.6												
C ₁₈₀	12.3	C ₁₈₀	3.0			53.9	12.4	11.2							
C _{181,9}	17.4	d ₂ -C ₁₈₀	11.9	56.2	18.2	11.3				63.1	22.8	25.0			
C _{182,6}	10.6	d ₄ -C ₁₈₀	39.3						44.3	10.5	11.2	25.6	57.9	25.8	
C _{183 9c,11t,13c}	0.4	d ₆ -C ₁₈₀	41.1	43.6	81.9	98.9	46.1	87.5	88.7	55.5	99.0	98.5	11.3	19.3	53.2
C _{183 9c,11t,13t}	57.1														

^{a)} mol % by GLC^{b)} relative intensity to the sum of intensities of total peaks of PFB-derivatives of total deuterated fatty acids of total TG, by NICI mass spectrometry^{c)} cf Table 3^{d)} D ; dienoic acid, S_t ; stearic acid, M ; monoenoic acid, T_{ci} ; α-eleostearic acid.Table 6. Distribution of Fatty Acids in the sn-1, sn-2 and sn-3 Positions of Total Triacylglycerols from the Seed Oils of *Aleurites fordii*

Fatty acid	composition mol%	deuterated TG								
		deuterated fatty acid	composition ^{a)} mol%	1, 3-dDG ^{b)}	1, 2-dDG ^{b)}	2, 3-dDG ^{b)}	sn-1 ^{c)}	sn-2 ^{d)}	sn-3 ^{e)}	sn-2 ^{f)}
C ₁₆₀	2.4	C ₁₆₀	2.2	2.1	2.4	2.1	2.4	2.4	1.8	2.9
C ₁₈₀	1.7	C ₁₈₀	1.7	1.5	1.9	1.7	1.7	2.0	1.3	1.8
C _{181,9}	5.4	d ₂ -C ₁₈₀	5.5	5.7	5.7	5.1	5.7	5.0	5.2	5.3
C _{182,6}	8.5	d ₄ -C ₁₈₀	8.3	8.6	8.0	8.3	8.3	7.6	8.9	7.4
C _{183 9c,11t,13c}	0.3	d ₆ -C ₁₈₀	82.0	81.7	81.7	82.6	80.8	83.0	82.5	82.6
C _{183 9c,11t,13t}	81.2									
C _{201,9}	0.5	d ₂ -C ₂₀₀	0.3	0.4	0.3	0.2	0.5		0.3	

^{a)} relative intensity to the sum of intensities of total peaks of PFB-derivatives of total deuterated fatty acids of total TG, by NICI mass spectrometry^{b)} NEU derivatives of 1, 3-, 1, 2- and 2, 3-dDG obtained after hydrolysis of deuterated TG from *Aleurites fordii* seed oils with Grignard reagent^{c)} (3 × dTG)-(2 × sn-2, 3-dDG)^{d)} (3 × dTG)-(2 × sn-1, 3-dDG)^{e)} (3 × dTG)-(2 × sn-1, 2-dDG)^{f)} fatty acid composition of 2-dMG fraction derived from hydrolysis of deuterated triacylglycerols with Grignard reagent.

Table 7. Distribution of Fatty Acids in the sn-1, sn-2 and sn-3 Positions of the Main Species of Triacylglycerols from the Seed Oils of *Aleurites fordii*

fatty acid	Intact TG mol% ^{a)}	total dTG fatty acid mol% ^{b)}	fraction								
			T _{ci3} ^{d)}			DT _{ci2}			MT _{ci2}		
			sn-1 ^{c)}	sn-2	sn-3	sn-1	sn-2	sn-3	sn-1	sn-2	sn-3
C _{16:0}	2.4	C _{16:0}	2.2								80.1 23.1 16.5
C _{18:0}	1.7	C _{18:0}	1.7								
C _{18:1ω9}	5.4	d ₂ -C _{18:0}	5.5						71.0 55.1 20.2		
C _{18:2ω6}	8.5	d ₄ -C _{18:0}	8.3			79.2	56.7	29.2			
C _{18:3 9c,11t,13t}	0.3	d ₆ -C _{18:0}	82.0	99.5	98.9	99.8	20.5	43.2	70.3	23.4 44.2 89.5	19.7 76.8 83.4
C _{18:2ω9}	81.2	d ₂ -C _{20:0}	0.3							1.6 0.5 0.1	
C _{20:1ω9}	0.5										

^{a)} mol % by GLC^{b)} relative intensity to the sum of intensities of total peaks of PFB-derivatives of total deuterated fatty acids of total TG, by NICI mass spectrometry^{c)} cf Table 3^{d)} D ; dienoic acid, P ; palmitic acid, M ; monoenoic acid, T_{ci} ; α-eleostearic acid.

mole %, sum of C_{18:3 9c,11t,13t} and C_{18:3 9c,11t,13t}) 이며, 이 결과도 여주의 intact TG의 脂肪酸組成 (mole %)과 거의一致하였다. 油桐種子油의 TG에서도 C_{16:0} 2.2 mole % (2.4 mole %, intact TG by GLC), C_{18:0} 1.7 mole % (1.7 mole %), d₂-C_{18:0} 5.5 mole % (5.4 mole %, sum of C_{18:1ω9}), d₄-C_{18:0} 8.3 mole % (8.5 mole %, sum of C_{18:2ω6}), d₆-C_{18:0} 82.0 mole % (81.2 mole %, sum of C_{18:3 9c,11t,13t} and C_{18:3 9c,11t,13t}) 이므로 intact TG의 脂肪酸組成 (mole %)과一致하였다. 하늘타리의 TG에는 C_{18:3 9c,11t,13t}와 C_{18:2ω6}와 같은 不饱和脂肪酸은 glycerol 殘基의 sn-2와 sn-3에 치우쳐져 있었으며, 饱和脂肪酸은 sn-1에 偏在해 있었으며, TG의 主要分子種인 (C_{18:2ω6})(C_{18:3 9c,11t,13t})₂에는 sn-1-C_{18:2ω6}, sn-2-C_{18:3 9c,11t,13t}, sn-3-C_{18:3 9c,11t,13t}의 立体特異異性體가 大部分이고, (C_{18:1ω9})(C_{18:2ω6})(C_{18:3 9c,11t,13t})의分子種에는 sn-1-C_{18:2ω6}, sn-2-C_{18:3 9c,11t,13t}, sn-3-C_{18:3 9c,11t,13t}와 sn-1-C_{18:1ω9}, sn-2-C_{18:2ω6}, sn-3-C_{18:3 9c,11t,13t}가 主된 立体特異異性體이었다. 한편 油桐의 TG에는 80% 以上을 차지하고 있는 單純 TG分子種인 (C_{18:3 9c,11t,13t})₃을 除外한 主要分子種인 (C_{18:2ω6})(C_{18:3 9c,11t,13t})₂, (C_{18:1ω9})(C_{18:3 9c,11t,13t})₂와 (C_{16:0})(C_{18:3 9c,11t,13t})₂에서 分子種에는 sn-1-C_{18:2ω6}, sn-2-C_{18:3 9c,11t,13t}, sn-3-C_{18:3 9c,11t,13t}와 sn-1-C_{18:1ω9}, sn-2-C_{18:3 9c,11t,13t}, sn-3-C_{18:3 9c,11t,13t} 및 sn-1-C_{16:0}, sn-2-C_{18:3 9c,11t,13t}, sn-3-C_{18:3 9c,11t,13t}가 主된 立体特異異性體이었다.

있었으며 C_{18:2ω6}는 sn-3보다 sn-1과 sn-2 位置에 偏在하고 있었고, 主要分子種인 (C_{18:1ω9})(C_{18:3 9c,11t,13t})₂에는 sn-1-C_{18:1ω9}, sn-2-C_{18:3 9c,11t,13t}, sn-3-C_{18:3 9c,11t,13t}의 立体特異異性體가 大部分이고, (C_{18:0})(C_{18:3 9c,11t,13t})₂의分子種에는 sn-1-C_{18:0}, sn-2-C_{18:3 9c,11t,13t}, sn-3-C_{18:3 9c,11t,13t}와 sn-1-C_{18:1ω9}, sn-2-C_{18:2ω6}, sn-3-C_{18:3 9c,11t,13t}가 主된 立体特異異性體이었다. 한편 油桐의 TG에는 80% 以上을 차지하고 있는 單純 TG分子種인 (C_{18:3 9c,11t,13t})₃을 除外한 主要分子種인 (C_{18:2ω6})(C_{18:3 9c,11t,13t})₂, (C_{18:1ω9})(C_{18:3 9c,11t,13t})₂와 (C_{16:0})(C_{18:3 9c,11t,13t})₂에서 分子種에는 sn-1-C_{18:2ω6}, sn-2-C_{18:3 9c,11t,13t}, sn-3-C_{18:3 9c,11t,13t}와 sn-1-C_{18:1ω9}, sn-2-C_{18:3 9c,11t,13t}, sn-3-C_{18:3 9c,11t,13t} 및 sn-1-C_{16:0}, sn-2-C_{18:3 9c,11t,13t}, sn-3-C_{18:3 9c,11t,13t}가 主된 立体特異異性體이었다.

謝 辭

“이] 論文은 1999年度 韓國學術振興財團의 研究費에 의하여 研究되었음(KRF-99-G00110)”을

밝혀 두며, 著者들은 研究費受惠의 機會를 배풀어 주신 韓國學術振興財團 當局者 여러분에게 深心한 謝意를 表하는 바이며, 아울러 NICI mode의 GLC-mass spectrometry로 試料를 分析해 주신 Scotland의 Scottish Crop Research Institute에 계시는 W. W. Christie博士님에게 感謝의 말씀을 드리는 바입니다.

參考文獻

1. C. Litchfield, "Aanalysis of Triglycerides", pp. 248~261, Academic Press, New York (1972).
2. H. Brockerhoff, *Arch Biochem Biophys.*, **110**, 586 (1965).
3. W. W. Christie, "Lipid Analysis", 2nd edition, pp. 155~166, Pergamon Press, Oxford (1982).
4. W. W. Christie, *J. Chromatogr.*, **454**, 273 (1988).
5. W. W. Christie, B. Nikolova-Damyanova, P. Laakso, and B. Hersløf, *J. Am Oil Chem Soc.*, **68**, 695 (1991).
6. 金成眞 · 禹孝京 · 趙鏞桂, 韓國油化學會誌, **18**, 31 (2001).
7. Y. -G. Joh, S. -J. Kim and W. W. Christie, *J. Am Oil Chem Soc.*, **72**, 1037 (1995).
8. 禹孝京, 碩士學位請求論文, 東亞大學校 (1998).
9. R. Ryhage and E. Stenhammar, *J. Lipid Res.*, **1**, 361 (1960).
10. M. S. B. Munson and F. H. Field, *J. Am Chem Soc.*, **88**, 2621 (1966).
11. J. R. Chapman, "Practical Organic Mass Spectrometry", 2nd edition, pp. 74~96, John Wiley & Sons, West Sussex, England (1994).
12. E. G. Bligh and W. J. Dyer, *Canad. J. Biochem Physiol.*, **37**, 911 (1959).
13. E. A. Emken, "Proceeding from the Science Conference on Omega-3 Fatty Acid in Nutrition, Vascular Biology, and Medicine", pp. 1~18, American Heart Disease Association, Dallas, Texas (1994).
14. W. K. Rohwedder, E. A. Emken and D. J. Wolf, *Lipids*, **20**, 303 (1985).
15. W. K. Rohwedder, S. M. Duval, D. J. Wolf, and E. A. Emken, *Lipids*, **25**, 401 (1990).
16. F. D. Gunstone, "Lipid Synthesis and Manufacture", pp. 334~335, Sheffield Academic Press Ltd, Sheffield, England (1999).
17. F. Santinelli, P. Damiani, and W. W. Christie, *J. Am Oil Chem Soc.*, **69**, 552 (1992).
18. P. Villeneuve and T. A. Foglia, *Biotech.*, **8**, 640 (1997).
19. F. E. Luddy, R. A. Barford, S. F. Herb, P. Magidman, and R. W. Riemenschneider, *J. Am Oil Chem Soc.*, **41**, 693 (1964).
20. R. E. Anderson, N. R. Bottino, and R. Reiser, *Lipids*, **2**, 440 (1967).
21. R. J. Strife and R. C. Murphy, *J. Chromatogr.*, **305**, 3 (1984).
22. J. S. Hadley, A. Fradin, and R. C. Murphy, *Biomed Environ Mass Spectrom.*, **15**, 175 (1988).
23. H. Rakoff and E. A. Emken, *J. Labelled Comp. Radiopharm.*, **15**, 223 (1978).
24. Marcel S. F. Lie Ken Jie and Y. C. Choi, *J. Am Oil Chem Soc.*, **69**, 1245 (1992).
25. W. W. Christie, "Advances in Lipid Methodology-One", pp. 121~148, Oily Press, Ayr (1992).
26. P. Michelsen, E. Aronsson, G. Odham, and B. Akesson, *J. Chromatogr.*, **350**, 417 (1985).
27. W. H. Pirkle and J. R. Hauske, *J. Org. Chem.*, **42**, 2781 (1977).
28. W. H. Pirkle and P. E. Adams, *J. Org. Chem.*, **45**, 4111 (1980).
29. E. J. Corey and S. Hashimoto, *Tetrahedron Letts.*, **22**, 299 (1981).
30. B. A. Andersson, *Prog. Chem. Fat Other Lipids*, **16**, 279 (1978).
31. T. G. Toschi, W. W. Christie, and L. S. Conte, *J. High Resol. Chromatogr.*, **18**, 725 (1993).
32. M. I. Gurr and A. T. James, "Lipid

Biochemistry -an introduction-", 3rd edition, pp. 102~104, Science Paperbacks, London (1980).

33. L. Stryer, "Biochemistry", pp. 547~548, W. H. Freeman and Company, New York (1988).